



# 中华人民共和国国家标准

GB/T 9158—2015  
代替 GB/T 9158—1988

---

## 建筑门窗力学性能检测方法

Test methods of mechanics performance for windows and doors in building

2015-10-09 发布

2016-09-01 实施

---

中华人民共和国国家质量监督检验检疫总局 发布  
中国国家标准化管理委员会



## 目 次

前言 .....	Ⅲ
1 范围 .....	1
2 规范性引用文件 .....	1
3 术语和定义 .....	1
4 检测项目 .....	2
5 试件要求 .....	3
6 检测方法 .....	3
7 检测报告 .....	13
附录 A (资料性附录) 门窗力学性能检测记录及报告 .....	15



## 前 言

本标准按照 GB/T 1.1—2009 给出的规则起草。

本标准代替 GB/T 9158—1988《建筑用窗承受机械力的检测方法》，与 GB/T 9158—1988 相比，主要变化如下：

- 承受机械力性能改为力学性能；
- 增加了建筑用门力学性能检测方法(见第 4 章)；
- 增加了试件要求(见第 5 章)；
- 增加了建筑门窗力学性能分级(见 6.1.2, 6.2.2, 6.3.2, 6.4.2)；
- 悬端吊重性能改为耐垂直荷载性能(见 6.3, 1988 版 6.2.2)；
- 增加了抗静扭曲和大力关闭试验方法(见 6.4, 6.7.1)；
- 取消了翘曲试验方法(见 1988 版的 6.2.1)；
- 增加了检测记录及报告格式(见附录 A)。

本标准由中华人民共和国住房和城乡建设部提出。

本标准由全国建筑幕墙门窗标准化技术委员会(SAC/TC 448)归口。

本标准起草单位：中国建筑科学研究院、广东省建筑科学研究院、上海市建筑科学研究院(集团)有限公司、中国建筑金属结构协会塑料门窗委员会、河南省建筑科学研究院有限公司、广东坚朗五金制品股份有限公司、河北奥润顺达窗业有限公司、福建省南平铝业有限公司、中山盛兴股份有限公司、广州铝质装饰工程有限公司、湖北省产品质量监督检验研究院、宁波和邦检测研究有限公司、浙江新世纪工程检测有限公司、天津建科建筑节能环境检测有限公司。

本标准主要起草人：王洪涛、刘会涛、石民祥、徐勤、易序彪、刘付林、杜万明、魏贺东、谢光宇、崔传芹、谭国湘、肖江蓉、汪忠敏、顾剑英、李胜英。

本标准的历次版本发布情况为：

- GB/T 9158—1988。



# 建筑门窗力学性能检测方法

## 1 范围

本标准规定了建筑门窗力学性能检测方法的术语和定义、检测项目、试件要求、检测方法和检测报告。

本标准适用于各类手动启闭的建筑用门窗。

本标准不适用于防火门窗、逃生门窗、排烟窗、防射线屏蔽门等特种门窗。

## 2 规范性引用文件

下列文件对于本文件的应用是必不可少的。凡是注日期的引用文件,仅注日期的版本适用于本文件。凡是不注日期的引用文件,其最新版本(包括所有的修改单)适用于本文件。

GB/T 5823 建筑门窗术语

GB/T 14155 整樘门 软重物体撞击试验

GB/T 29048 窗的启闭力试验方法

GB/T 29049 整樘门 垂直荷载试验

GB/T 29530 平开门和旋转门 抗静扭曲性能的测定

GB/T 29555 门的启闭力试验方法

## 3 术语和定义

GB/T 5823 界定的以及下列术语和定义适用于本文件。

### 3.1

**门窗力学性能** **mechanics performance for windows and doors**

门窗活动扇在机械力作用下保持正常使用功能的能力。

### 3.2

**启闭力** **operating force**

门窗锁闭装置的锁紧力和松开力、活动扇开启力和关闭力的最大值。

### 3.3

**耐软重物撞击性能** **performance of soft heavy body impact resistance**

门扇(落地窗、橱窗)承受软重物垂直于平面撞击而不破坏的能力。

### 3.4

**耐垂直荷载性能** **performance of vertical load resistance**

门窗活动扇在开启状态下承受垂直荷载的能力。

### 3.5

**抗静扭曲性能** **performance of static torsion resistance**

门扇承受静态扭曲力作用下保持平面状态的能力。

3.6

**抗扭曲变形性能 performance of twisting deformation resistance**

推拉门窗在启闭过程中,当活动扇受到阻力作用时仍强行推拉执手,安装执手的部位抵抗变形的能力。

3.7

**抗对角线变形性能 performance of diagonal deformation resistance**

推拉门窗在启闭过程中,活动扇受到阻力作用时仍强行推拉活动扇,门窗活动扇抵抗产生对角线变形的能力。

3.8

**抗大力关闭性能 performance of vigorous shutdown resistance**

当撑挡没有锁紧或功能失效时,开启状态的门窗活动扇与框发生猛烈碰撞时的承受能力。

4 检测项目

建筑门和窗力学性能检测项目应分别符合表 1 和表 2 的规定。

表 1 门力学性能检测项目

项目	门类别						
	平开门	推拉门	提升推拉门	推拉下悬门	内平开下悬门	转门	折叠门
启闭力	√	√	√	√	√	√	√
耐软重物撞击性能	√	√	√	√	√	√	√
耐垂直荷载性能	√	—	—	—	√	√	√
抗静扭曲性能	√	—	—	—	√	√	√
抗扭曲变形性能	—	√	√	√	—	—	—
抗对角线变形性能	—	√	√	√	—	—	—
抗大力关闭性能	√	—	—	—	√	—	—

注：抗大力关闭性能检测为破坏性试验。

表 2 窗力学性能检测项目

项目	窗类别												
	平开	滑轴平开	推拉	上下推拉	提升推拉	折叠推拉	外开上悬	内开下悬	滑轴上悬	立转	水平旋转	推拉下悬	内平开下悬
启闭力	√	√	√	√	√	√	√	√	√	√	√	√	√
耐垂直荷载性能	√	√	—	—	—	√	—	—	—	√	—	—	√
抗静扭曲性能	√	√	—	—	—	√	√	√	√	√	√	—	√
抗扭曲变形性能	—	—	√	√	√	√	—	—	—	—	—	√	—
抗对角线变形性能	—	—	√	√	√	√	—	—	—	—	—	√	—



表 2 (续)

项 目	窗类别												
	平开	滑轴 平开	推拉	上下 推拉	提升 推拉	折叠 推拉	外开 上悬	内开 下悬	滑轴 上悬	立转	水平 旋转	推拉 下悬	内平开 下悬
抗大力 关闭性能	√	—	—	—	—	—	√	√	√	—	—	—	√
开启限位	√	√	—	—	—	—	√	√	√	—	—	—	√
撑挡试验	√	—	—	—	—	—	√	√	√	—	—	—	√

注：抗大力关闭性能检测为破坏性试验。

## 5 试件要求

5.1 应按设计要求和性能检测的要求选择具有代表性的 3 樘门窗产品作为试件。

5.2 试验前,试件在温度为 15℃~30℃、相对湿度为 25%~75%的环境条件下放置时间不应小于 24 h,单项检测方法无检测环境要求时应按此环境条件进行试验。对于有较好抗湿度影响稳定性的铝合金门窗、塑料门窗等试件,环境条件可不考虑相对湿度。

5.3 试件应按其实际使用状态进行安装,安装后不应产生可能影响试验结果的扭曲和变形,不应安装其他附件。

## 6 检测方法

### 6.1 启闭力

#### 6.1.1 原理

测定门窗锁闭装置锁紧和松开过程的操作力或力矩,以及门窗活动扇在缓慢开启和缓慢关闭过程中所需操作力的最大值。

#### 6.1.2 分级

采用活动扇操作力、锁闭装置操作力和力矩作为分级指标,分级应满足表 3 的要求。

表 3 启闭力分级

分级		1	2	3	4	5	6	
活动扇操作力 $F_h$ N		$150 \geq F_h > 100$	$100 \geq F_h > 75$	$75 \geq F_h > 50$	$50 \geq F_h > 25$	$25 \geq F_h > 10$	$F_h \leq 10$	
锁闭 装置 操作力	手操 作	最大力 $F_{s1}$ N	$150 \geq F_{s1} > 100$	$100 \geq F_{s1} > 75$	$75 \geq F_{s1} > 50$	$50 \geq F_{s1} > 25$	$25 \geq F_{s1} > 10$	$F_{s1} \leq 10$
	最大力矩 $M_{s1}$ Nm	$15 \geq M_{s1} > 10$	$10 \geq M_{s1} > 7.5$	$7.5 \geq M_{s1} > 5$	$5 \geq M_{s1} > 2.5$	$2.5 \geq M_{s1} > 1$	$M_{s1} \leq 1$	

表 3 (续)

分级		1	2	3	4	5	6	
锁闭装置 操作力	手指 操作	最大力 $F_{s2}$ N	$30 \geq F_{s2} > 20$	$20 \geq F_{s2} > 15$	$15 \geq F_{s2} > 10$	$10 \geq F_{s2} > 6$	$6 \geq F_{s2} > 4$	$F_{s2} \leq 4$
		最大力矩 $M_{s2}$ Nm	$7.5 \geq M_{s2} > 5$	$5 \geq M_{s2} > 4$	$4 \geq M_{s2} > 2.5$	$2.5 \geq M_{s2} > 1.5$	$1.5 \geq M_{s2} > 1$	$M_{s2} \leq 1$
注 1: 活动扇操作力、锁闭装置手(手指)操作力(力矩)分别定级后,以最低分级定为启闭力分级。 注 2: 特种规格、特种形式门窗,可由供需双方商定指标值。								

6.1.3 检测方法

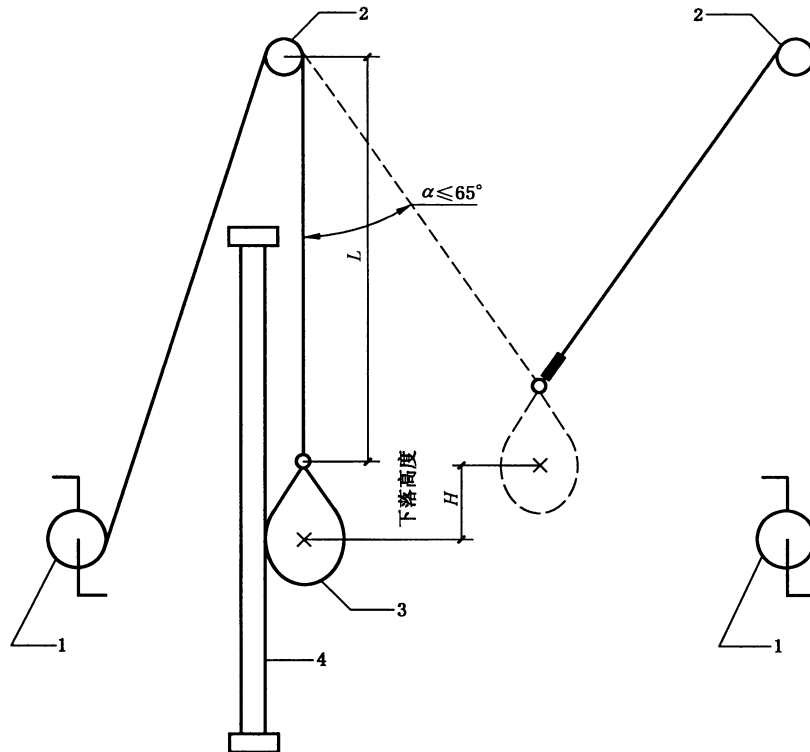
门启闭力应按 GB/T 29555 规定的方法检测,窗启闭力应按 GB/T 29048 规定的方法检测。

6.2 耐软重物撞击性能

6.2.1 原理

在门扇一侧表面预定的一个或几个比较薄弱的部位上,用一软重物垂直于门扇平面进行撞击试验,检验其是否损坏,耐软重物撞击性能检测原理见图 1。

注:不同材料的门扇,根据其自身特点确定比较薄弱部位。



说明:

- 1——调节装置;
- 2——滑轮;

- 3——撞击体;
- 4——试件。

图 1 耐软重物撞击性能检测原理图

## 6.2.2 分级

采用门扇所能承受的撞击体最大下落高度作为分级指标,见表4。

用符合 GB/T 14155 规定的撞击体进行撞击试验,下落高度按表4的规定逐级提高,不同下落高度只撞击一次,撞击试验后,门扇应无明显变形,启闭无异常,使用无障碍。

表4 耐软重物撞击分级

分级	1	2	3	4	5	6
软重物下落高度 mm	100	200	300	450	700	950

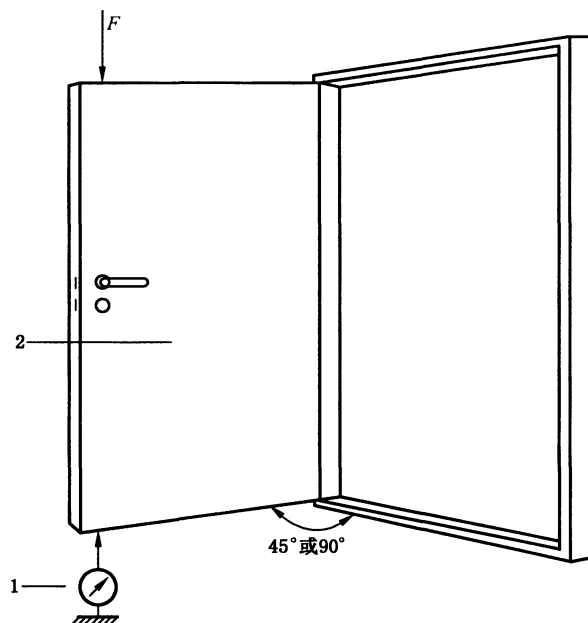
## 6.2.3 检测方法

整樘门耐软重物撞击试验应按 GB/T 14155 规定的方法检测。

## 6.3 耐垂直荷载性能

### 6.3.1 原理

在开启状态下的门窗活动扇顶部指定的位置施加一垂直静荷载  $F$ ,测定活动扇在竖直平面内的变形,耐垂直荷载性能检测原理见图2。



说明:

1——位移计;

2——门扇。

图2 耐垂直荷载性能检测原理图

6.3.2 分级

采用活动扇残余变形量不大于  $\delta$  时所承受的最大垂直荷载  $F$  作为分级指标,分级应满足表 5 的要求。

注:  $\delta$  指活动扇残余变形量的最大允许值。不同材料门窗  $\delta$  值有所不同,应根据相应的国家现行门窗产品标准确定。

表 5 耐垂直荷载性能分级

单位为牛顿

分级	1	2	3	4
$F$	100	300	500	800

6.3.3 检测方法

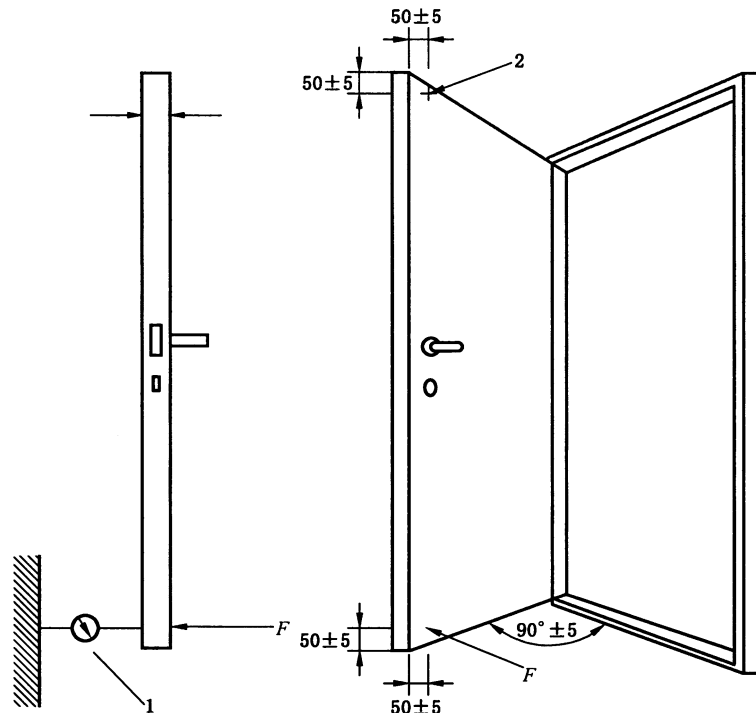
应按 GB/T 29049 规定的方法进行检测。

6.4 抗静扭曲性能

6.4.1 原理

固定活动扇自由边一角,在自由边另一角施加静态试验荷载  $F$ ,测定活动扇在静态扭曲力作用下的残余变形量,抗静扭曲性能检测原理见图 3。

单位为毫米



说明:  
1——位移计;  
2——固定点。

图 3 抗静扭曲性能检测原理图

## 6.4.2 分级

采用活动扇残余变形量不大于  $\delta$  时所承受的最大静态试验荷载  $F$  为分级指标,分级应满足表 6 的要求。

注:  $\delta$  指活动扇最大允许变形量,一般取 5 mm。不同材料的门窗,  $\delta$  值有所不同,根据相应的门窗产品标准确定。

表 6 抗静扭曲性能分级

单位为牛顿

分级	1	2	3	4
静态试验荷载 $F$	200	250	300	350

## 6.4.3 检测方法

抗静扭曲性试验应按 GB/T 29530 规定的方法检测。

## 6.5 抗扭曲变形性能

### 6.5.1 原理

模拟推拉门窗在启闭过程中,当活动扇受到阻力作用时仍强行推拉执手,在安装执手的部位产生扭曲变形的情况,抗扭曲变形性能检测原理见图 4。

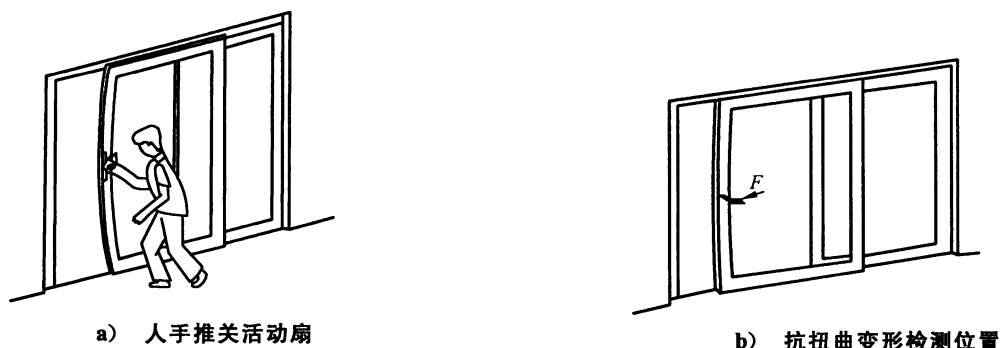


图 4 抗扭曲变形性能检测原理图

### 6.5.2 测量指标

采用活动扇施加 200 N 作用力时,镶嵌位置的负载变形和卸载残余变形量为测量指标。

注: 卸载残余变形是主要指标,一般取 1 mm。

### 6.5.3 检测方法

6.5.3.1 在活动扇开启状态下固定活动扇。

6.5.3.2 在活动扇执手处,施加 200 N 与启闭方向一致的作用力  $F$ ,保持 5 s 后立即卸荷,卸荷 60 s 后,记录活动扇自由端扇框中心线上测试点的位置初始位移读数  $a_0$ ,精确到 0.02 mm。

6.5.3.3 第二次施加 200 N 的负荷,保持 60 s。记录此时的测试点的读数  $a_1$ ,立即卸荷,60 s 后,记录测量仪器上的读数  $a_2$ 。

6.5.3.4 按式(1)和式(2)分别计算第二次加载时的负载变形和卸载后的残余变形,精确到 0.02 mm。

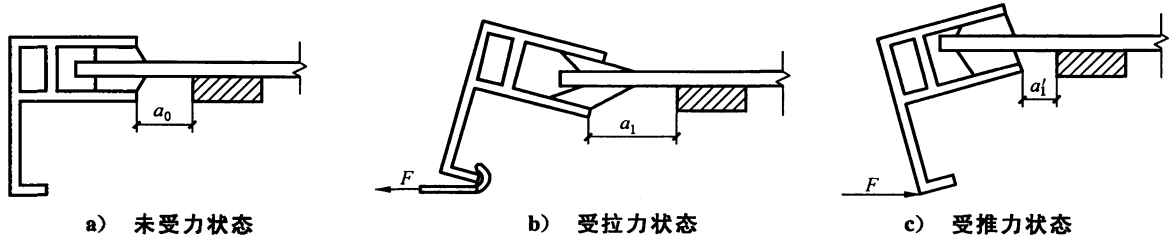
$$\delta_F = a_1 - a_0 \quad \dots\dots\dots (1)$$

$$\delta_c = a_2 - a_0 \dots\dots\dots(2)$$

式中：

- $\delta_F$ ——负载变形,单位为毫米(mm);
- $\delta_c$ ——残余变形,单位为毫米(mm);
- $a_0$ ——测试点的位置初始位移,单位为毫米(mm);
- $a_1$ ——200 N的负荷时,测试点的位移,单位为毫米(mm);
- $a_2$ ——卸荷 60 s 后,测试点的位移,单位为毫米(mm)。

6.5.3.5 检查并记录活动扇启闭是否正常,试件是否破坏。作用力及变形检测位置见图 5。



说明：

- $F$  ——作用力,N;
- $a_0$  ——初始位移,mm;
- $a_1$  ——受拉力负载位移,mm;
- $a_1'$  ——受推力负载位移,mm。

图 5 推拉门窗扭曲变形检测作用力及变形检测位置示意图

6.5.3.6 重复上述步骤,施加相反方向的荷载  $F$ ,并记录对应位置的位移  $a'_0, a'_1, a'_2$ 。按式(1)和式(2)分别计算负载变形和残余变形,精确到 0.02 mm。检查并记录活动扇启闭是否正常,试件是否破坏。

注：对于没有外凸执手的推拉门窗可不作扭曲试验。

## 6.6 抗对角线变形性能

### 6.6.1 原理

模拟推拉门窗在启闭过程中,当门窗活动扇受到阻力作用时仍强行推拉活动扇,门窗活动扇产生对角线变形的情况,见图 6。

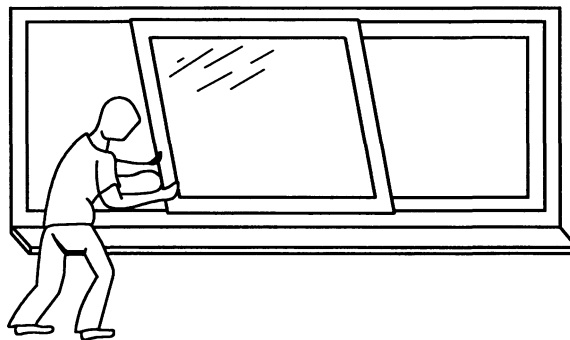


图 6 推拉门窗对角线变形示意图

## 6.6.2 检测指标

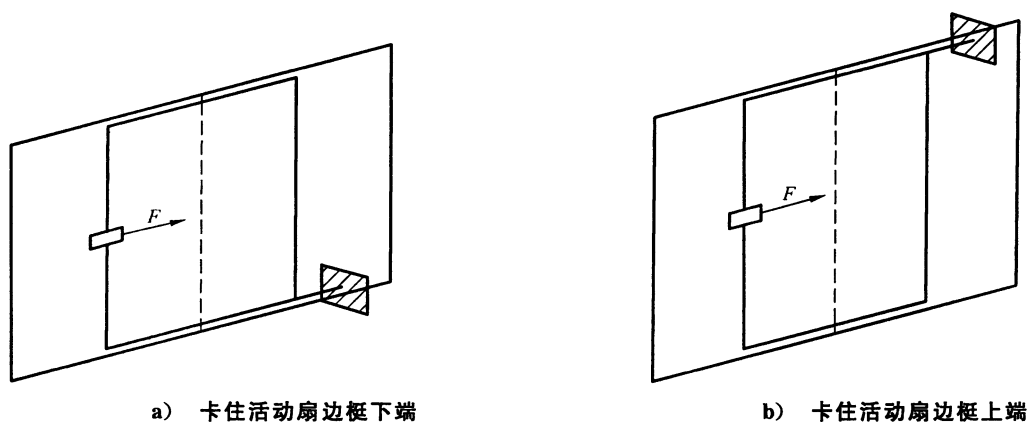
采用活动扇施加 200 N 作用力时,活动扇对角线负载变形量和残余变形量为测量指标。

## 6.6.3 检测方法

6.6.3.1 卡住活动扇的一角,见图 7 和图 8。

6.6.3.2 在活动扇的执手处,施加 200 N 与启闭方向一致的作用力  $F$ ,保持 5 s 后立即卸荷,卸荷 60 s 后,记录两条对角线的测量值  $d_1$ 、 $d_2$  的初始读数,精确到 0.5 mm,计算第一次加荷后活动扇对角线的差值  $a_0$ ,加荷位置见图 7 和图 8。

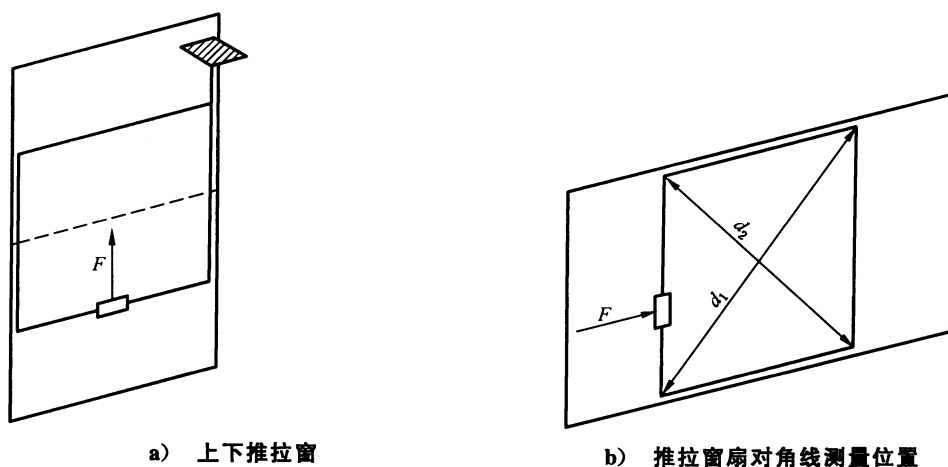
6.6.3.3 第二次施加 200 N 的负荷,保持 60 s。记录此时的活动扇两条对角线  $d_1$ 、 $d_2$  的测量值,立即卸荷,60 s 后,记录此时的活动扇两条对角线  $d_1$ 、 $d_2$  的测量值,单位均为 mm,精确到 0.5 mm。计算第二次加荷时及卸荷后活动扇对角线的差值  $a_1$  和  $a_2$ 。检查并记录活动扇启闭是否正常,试件是否破坏。



说明:

$F$ ——作用力。

图 7 左右推拉窗加载位置示意图



说明:

$F$  ——作用力;

$d_1$  ——对角线 1;

$d_2$  ——对角线 2。

图 8 上下推拉窗加载位置示意图

6.6.4 检测结果

按式(3)和式(4)分别计算第二次加载时的对角线负载变形量和卸载后的对角线残余变形量,精确到 0.02 mm。

$$\delta_F = a_1 - a_0 \dots\dots\dots (3)$$

$$\delta_C = a_2 - a_0 \dots\dots\dots (4)$$

式中:

$\delta_F$ ——负载变形,单位为毫米(mm);

$\delta_C$ ——残余变形,单位为毫米(mm);

$a_0$ ——第一次加荷后活动扇对角线的差值,单位为毫米(mm);

$a_1$ ——200 N 的负荷时,活动扇对角线的差值,单位为毫米(mm);

$a_2$ ——卸荷 60 s 后,活动扇对角线的差值,单位为毫米(mm)。

6.7 抗非正常受力性能

6.7.1 大力关闭

6.7.1.1 原理

大力关闭试验是模拟开着的门或窗,当撑挡没有锁紧或功能失效时,检测在阵风吹袭下活动扇与框发生猛烈碰撞时的承受能力。

6.7.1.2 检测要求

试验负荷应通过定滑轮作用在门扇或窗扇的执手处,其大小为 75 Pa 乘以门扇或窗扇的面积,在此试验负荷作用后,检查门窗是否发生破坏或功能障碍。

注: 75 Pa 相当于七级风的作用力的一半。

6.7.1.3 检测设备

6.7.1.3.1 门窗试件的固定装置

应保证整樘门或窗能按其正常使用状态进行安装固定,不会因为试样上施加外力而发生任何方向上的位移,并不应妨碍门、窗扇框开关方向的自由度。

6.7.1.3.2 加力和测力装置

加力装置应保证试验负荷能连续稳定地施加在试样上,并能保持检测设定值;测力装置量程不应小于 1 000 N,示值精度为 1 N。

6.7.1.4 检测方法

将门扇或窗扇开启  $45^\circ \pm 5^\circ$ ,试验负荷应通过定滑轮作用在门扇或窗扇的执手处,其大小应相当于七级风的作用力的一半即为 75 Pa 乘以门扇或窗扇的面积,松开撑挡等限位装置,使门扇或窗扇在负荷作用下猛力关闭,重复该步骤 10 次,观察并记录试样有无影响正常使用的变形、故障和损坏。

6.7.1.5 检测结果

试验后应记录试件的详细损坏情况,包括损坏的性质、部位和严重程度,是否发生影响正常使用的变形、故障和损坏。



## 6.7.2 开启限位

### 6.7.2.1 原理

模拟平开旋转类窗在锁闭装置松开状态下,关闭的活动扇在阵风吹袭突然开启时限位装置及其和框扇连接的承受能力。

注:平开旋转类窗包括平开窗、滑轴平开窗、悬窗、平开下悬窗、滑轴上悬窗等。

### 6.7.2.2 检测要求

通过重物的自由落体进行活动扇冲击试验,反复3次后,检查限位装置是否破坏。

### 6.7.2.3 检测方法

将非弹性绳子的一端和门窗执手位置处相连接,另一端通过一个定滑轮后挂一个  $10\text{ kg} \pm 0.05\text{ kg}$  的重物,通过重物的自由落体使活动扇加速开启。以活动扇到达限位装置开启极限位置时重物下落到达的位置作为基准面,以重物距基准面  $200\text{ mm} \pm 10\text{ mm}$  高度时的活动扇位置作为初始位置。重物从初始位置下落到距基准面  $20\text{ mm} \pm 2\text{ mm}$  时停止下落,之后活动扇利用自身的运动惯性到达开启极限位置。如果测试过程中活动扇的开启角度发生变化,基准面不作改变。开启限位测试装置见图9和图10。

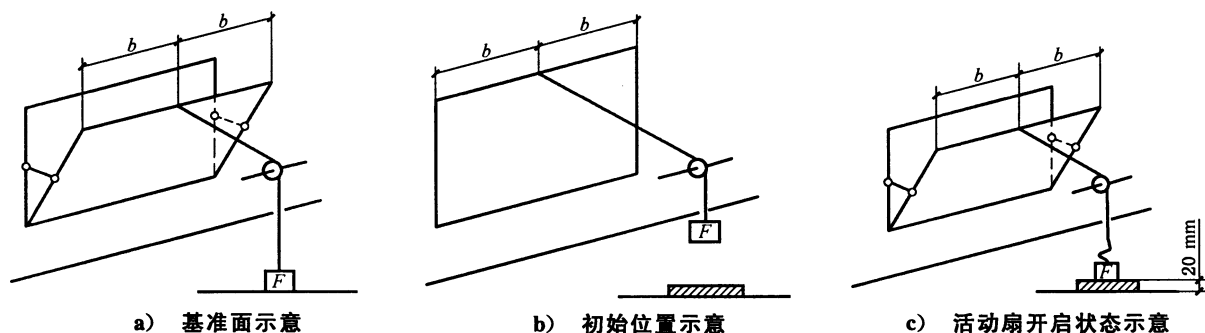


图9 下悬窗开启限位检测示意图

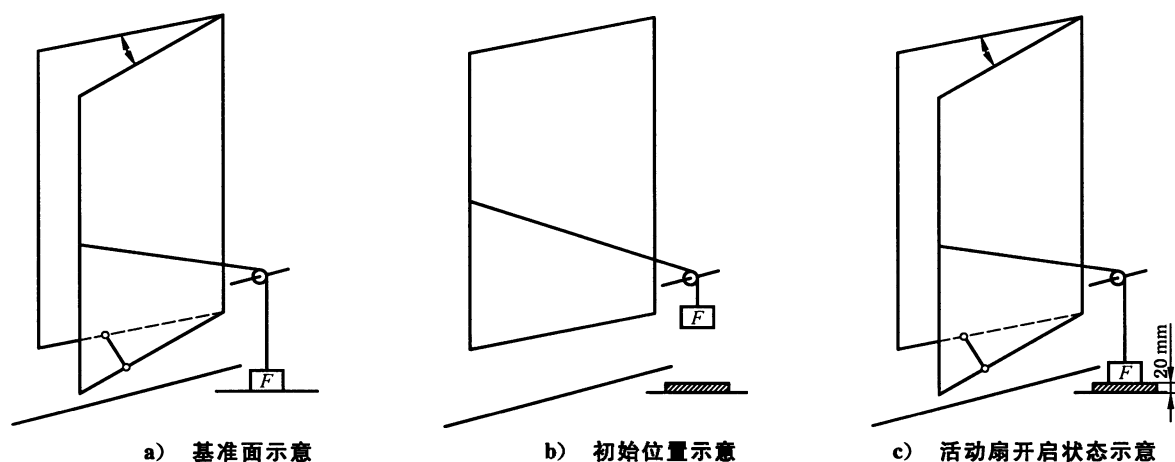


图10 平开窗开启限位检测示意图

### 6.7.3 撑挡试验

#### 6.7.3.1 原理

模拟平开门窗在正常开启状态下,活动扇在阵风吹袭时撑挡的承受能力。

#### 6.7.3.2 检测指标

活动扇在开启状态下,由撑挡定位,通过垂直活动扇方向施加荷载,检测活动扇的最大变形量  $\delta_1$  和残余变形量  $\delta_2$ ,检查撑挡是否破坏。

#### 6.7.3.3 检测方法

6.7.3.3.1 活动扇开启角度为  $45^\circ \pm 5^\circ$  或最大位置。

6.7.3.3.2 在活动扇自由边梃中点位置,沿活动扇垂直方向施加 500 N 的荷载,保持 5 s 后立即卸载,卸载 60 s 后,记录自由边梃中点位置至框对应位置距离的初始读数  $a_0$ ,精确到 0.01 mm。检测加载位置见图 11~图 13。

6.7.3.3.3 第二次加载 500 N,保持 60 s,记录自由边梃中点位置至框对应位置距离的负载读数  $a_1$ ,立即卸载,60 s 后,记录该位置残余变形  $a_2$ ,单位均为毫米,检查并记录活动扇开关功能是否正常,撑挡是否破坏。

6.7.3.3.4 重复上述步骤,施加相反方向的荷载,并记录对应位置的位移  $a'_0$ 、 $a'_1$  和  $a'_2$  值。

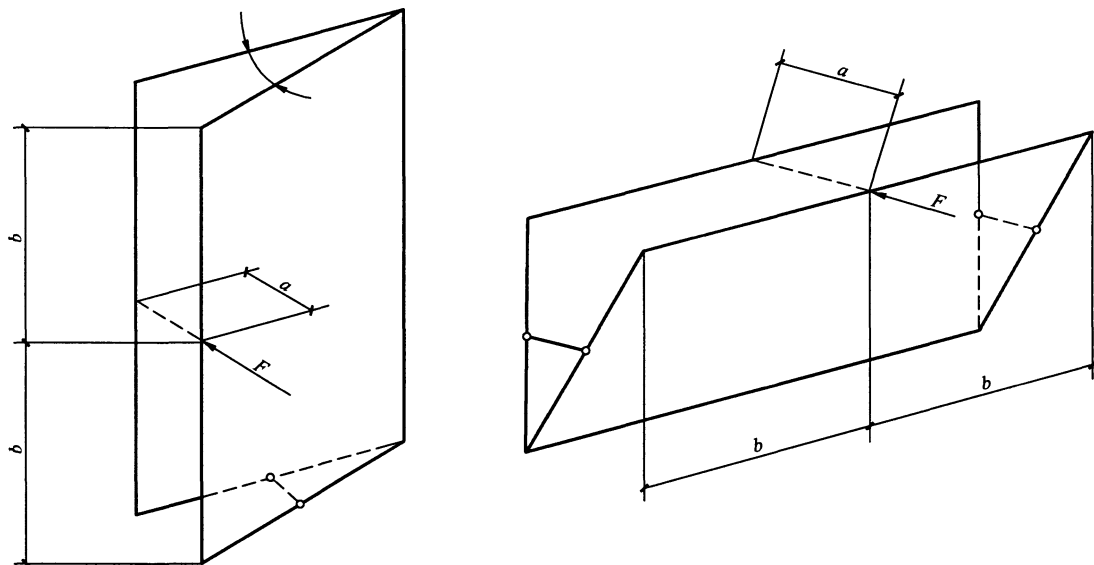


图 11 平开类门窗撑挡试验加载位置示意

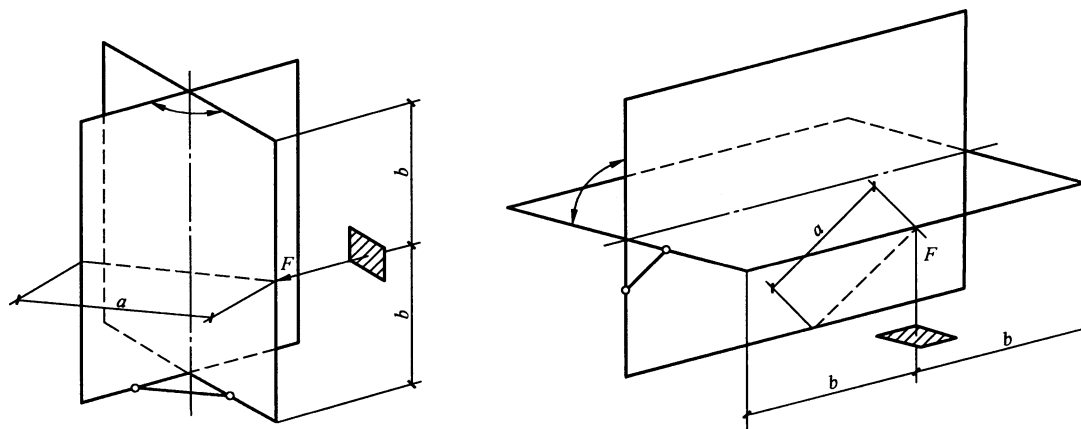


图 12 旋转门窗撑挡检测加载位置

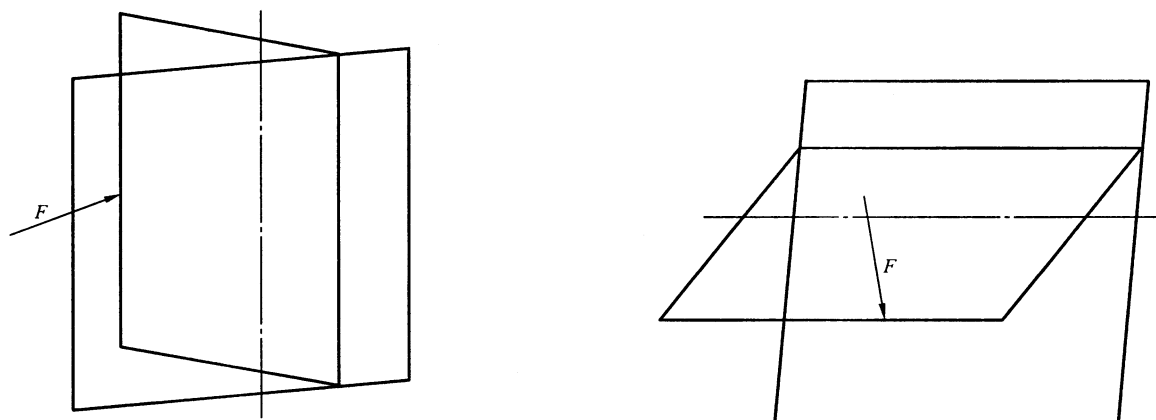


图 13 滑轴平开窗撑挡检测加载位置

### 6.7.3.4 检测结果

按式(5)和式(6)分别计算正、反两个方向第二次加载时的负载变形量和卸载后的残余变形量,精确到 0.01 mm。

$$\delta_F = a_1 - a_0 \quad \dots\dots\dots(5)$$

$$\delta_C = a_2 - a_0 \quad \dots\dots\dots(6)$$

式中:

$\delta_F$ ——负载变形,单位为毫米(mm);

$\delta_C$ ——残余变形,单位为毫米(mm);

$a_0$ ——第一次加荷后自由边梃中点位置至框对应位置距离的初始读数,单位为毫米(mm);

$a_1$ ——500 N 负荷保持 60 s 时,自由边梃中点位置至框对应位置距离的负载读数,单位为毫米(mm);

$a_2$ ——卸荷 60 s 后,该位置残余变形,单位为毫米(mm)。

## 7 检测报告

检测报告应包括以下内容,格式参见附录 A:

- a) 委托单位和检测单位信息；
- b) 试件的类型、型式、规格尺寸及其有关构造的详细资料和图示(包括整体立面、剖面 and 型材断面图等)；
- c) 玻璃厚度、类型和镶嵌方法；
- d) 试件所用五金件的说明；
- e) 试件的开启方式；
- f) 检测项目、检测依据、检测设备及检测日期；
- g) 检测结果的数据、图表及描述；
- h) 主检人、审核人及批准人签名。

附 录 A  
(资料性附录)

门窗力学性能检测记录及报告

表 A.1 门窗力学性能检测记录

检测项目	要求	检测结果			检测结论
		试件 1	试件 2	试件 3	
启 闭 力	手指操作五金件力/力矩				
	手操作五金件力/力矩				
	活动扇操作力/力矩				
耐软重物撞击					
耐垂直荷载					
抗静扭曲					
扭曲变形					
对角线变形					
大力关闭					
开启限位					
撑挡试验					
备注					

表 A.2 门窗力学性能检测报告

报告编号：

共 页 第 页

委托单位			
地 址		电 话	
抽样地点		送/抽样日期	
工程名称		生产单位	
样品	名称	状 态	
	规格型号	商 标	
	开启方式	开启缝长	
	玻璃品种	镶嵌方法	
检测	项目	数 量	
	地点	日 期	
	依据		
	设备		
检测结论			
<p>××性能,检测结果为×××,属国家标准 GB/T ××××-××××的第×级。</p> <p style="text-align: right;">(检测报告专用章)</p>			

批准：

审核：

主检：

报告日期：



中 华 人 民 共 和 国  
国 家 标 准  
建筑门窗力学性能检测方法  
GB/T 9158—2015

\*

中国标准出版社出版发行  
北京市朝阳区和平里西街甲2号(100029)  
北京市西城区三里河北街16号(100045)

网址 [www.spc.net.cn](http://www.spc.net.cn)

总编室:(010)68533533 发行中心:(010)51780238

读者服务部:(010)68523946

中国标准出版社秦皇岛印刷厂印刷  
各地新华书店经销

\*

开本 880×1230 1/16 印张 1.5 字数 34 千字  
2016年1月第一版 2016年1月第一次印刷

\*

书号: 155066·1-52664 定价 24.00 元



GB/T 9158-2015